

УДК 547.722+541.121/123

ХИМИЯ

В. А. ТРОФИМОВ, О. Н. ЧУПАХИН, З. В. ПУШКАРЕВА

СПЕКТРОФОТОМЕТРИЧЕСКОЕ ИССЛЕДОВАНИЕ КОМПЛЕКСА
ИОДМЕТИЛАТА АКРИДИНА С ДИМЕТИЛАНИЛИНОМ

(Представлено академиком А. Н. Фрумкиным 13 XI 1969)

При исследовании механизма изученной нами ранее реакции аминоарилования четвертичных солей акридиния (¹) было установлено, что исходные иодметилат акридина (ИМА) и ариламин (например, диметиланилин (ДМА)) образуют в растворах межмолекулярный комплекс с переносом заряда (к.п.з.), который характеризуется появлением новой полосы поглощения в видимой области. При разбавлении растворов комплекс сильно диссоциирует на исходные компоненты, о чем свидетельствует быстрое падение погашения и смещение λ_{max} в сторону коротких волн (рис. 1).

Вследствие того, что полосы поглощения при межмолекулярном переносе заряда характеризуются явным отклонением поглощения от закона ЛамBERTA — Бера (^{2, 3}), определить состав комплекса методом изомолярных серий не удается. В связи с этим для спектрофотометрического определения состава комплекса и константы его равновесия K нами был использован метод Бенеши — Гильдебранда (⁴). Измерения проводились на спектрометре СФ-10 с терmostатированной кюветной камерой. Заданная температура поддерживалась в пределах $\pm 0,1^\circ$.

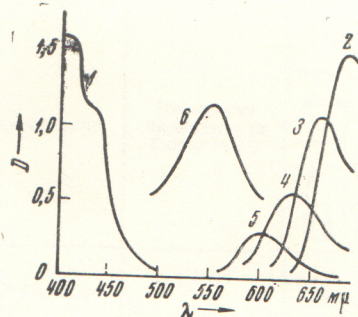


Рис. 1. Спектры поглощения в видимой области: 1 — иодметилата акридина, 2 — 7%-го комплекса ИМА — ДМА, 3 — 5% комплекса ИМА — ДМА, 4 — 2,5% комплекса ИМА — ДМА, 5 — 1,25% комплекса ИМА — ДМА, 6 — 5% комплекса ИМА — ДМА в спирте. Спектры 1—5 измерены в диметилформамиде

Определение константы равновесия комплекса ИМА — ДМА проводилось путем графического решения уравнения Бенеши — Гильдебранда:

$$\frac{[\text{ИМА}]\ell}{d} = \frac{1}{\varepsilon} + \frac{1}{K\varepsilon} \frac{1}{[\text{ДМА}]}, \quad (1)$$

где [ИМА] и [ДМА] — концентрация ИМА и ДМА, мол/л, K — константа равновесия реакции образования комплекса, ε — коэффициент экстинкции к.п.з., d — оптическая плотность в максимуме поглощения комплекса, ℓ — толщина кюветы, см.

Для определения K и ε измерялись оптические плотности d при длине волны максимума поглощения комплекса для серии растворов с различной концентрацией донора (ДМА), в каждом из которых донор находится в

большом избытке по сравнению с акцептором (ИМА). В качестве свидетеля использовались растворы без донора, которые содержали акцептор той же концентрации, что и в растворе комплекса. Измерения проводились для трех температур (15, 25 и 35°).

Для графического решения уравнения (1) значения [ИМА] l/d представляли как функцию от $1/\epsilon$. Наклон прямой давал значение K_ϵ , коэффициент экстинкции определялся из величины отрезка, отсекаемого этой прямой на оси ординат. На рис. 2 и в табл. 1 представлены результаты графического решения уравнения (1) для комплекса ИМА — DMA.

Результаты расчетов показывают, что в растворах ИМА взаимодействует с DMA с образованием комплекса состава 1 : 1.

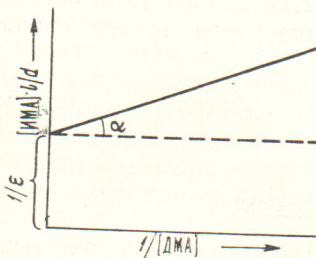


Рис. 2. Решение уравнения Бенеши — Гильдебранда (1) для комплекса ИМА — DMA

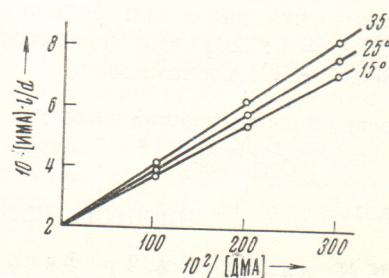


Рис. 3. Обработка спектрофотометрических результатов для комплекса ИМА — DMA (в спирте)

Из данных табл. 1 и рис. 3 видно, что в пределах умеренного температурного интервала отрезки $1/\epsilon$ остаются постоянными, что подтверждает данные ряда авторов (5—7) о нечувствительности коэффициентов экстинкции комплексов к температуре.

Для энергетической характеристики процесса образования комплекса ИМА — DMA были рассчитаны его термодинамические константы — теплота образования комплекса ΔH , изменение свободной энергии ΔG^0 и энтропия ΔS^0 (табл. 2). Значение ΔH^0 было рассчитано по изменению константы равновесия от температуры (5):

$$2,303 \cdot \lg \frac{K_{T_2}}{K_{T_1}} = \frac{-\Delta H^0}{R} (1/T_2 - 1/T_1), \quad (2)$$

где R — газовая постоянная, T — температура К°.

Таблица 1
Коэффициент экстинкции (λ 540-мк) и константа равновесия комплекса ИМА — DMA при 15, 25 и 35° С (в спирте)

T-ра, °С	$10^3/\epsilon$	ϵ	$\epsilon_{\text{ср}}$	$\operatorname{tg} \alpha = 10^3/K\epsilon$	K	$K_{\text{ср}}$
15	2,0	500 {	500	1,84	1,087 {	1,099
	2,0	500 }		1,8	1,11 }	
25	2,05	487 {	496	1,98	1,05 {	1,045
	2,0	500 }		1,92	1,04 }	
35	2,1	476 {	480	2,14	0,981 {	0,99
	2,06	485 }		2,06	0,999 }	

Во всех случаях среднеарифметическая ошибка для K составила $\pm 0,01$, а для $\epsilon \pm 4$.

Таблица 2

Термодинамические характеристики комплекса ИМА — ДМА

K_{25° , л·моль ⁻¹	$-\Delta H$, ккал/моль	$-\Delta H$, ккал/моль	$-\Delta H^0$, ккал/моль	$-\Delta G^0$, ккал/моль	$-T\Delta S^0$, ккал·град/ моль	$-\Delta S^0$, ккал/мол
1,04	0,945	0,97	0,958	0,023	0,935	3,14

Ошибка для ΔH составляет $\pm 0,013$ ккал/моль.

Рассмотрение данных табл. 2 показывает, что комплекс ИМА — ДМА следует отнести к неустойчивым, поскольку его образование сопровождается незначительным изменением в энталпии и энтропии системы. Расчеты показывают, что даже при большом избытке донора (при соотношении ИМА : ДМА = 1 : 220) при комнатной температуре только около 70% ИМА связано с ДМА в комплекс.

Уральский политехнический институт
им. С. М. Кирова
Свердловск

Поступило
24 X 1969

ЦИТИРОВАННАЯ ЛИТЕРАТУРА

- ¹ О. Н. Чупахин, В. А. Трофимов, З. В. Пушкирева, Авт. свид. СССР, № 215999. Изобретения, пром. образцы, товарные знаки, № 28, 174 (1968). ² R. S. Mulliken, J. Phys. Chem., 56, 801 (1952). ³ P. Job, Ann., 9, 113 (1928). ⁴ H. A. Benesi, J. H. Hildebrand, J. Am. Chem. Soc., 71, 2703 (1949). ⁵ R. M. Keefer, L. J. Andrews, J. Am. Chem. Soc., 77, 2164 (1955). ⁶ W. B. Person, W. C. Goicon, A. G. Роров, J. Am. Chem. Soc., 85, 891 (1963). ⁷ N. Ogimachi, L. J. Andrews, R. M. Keefer, Am. Chem. Soc., 77, 4205 (1955).